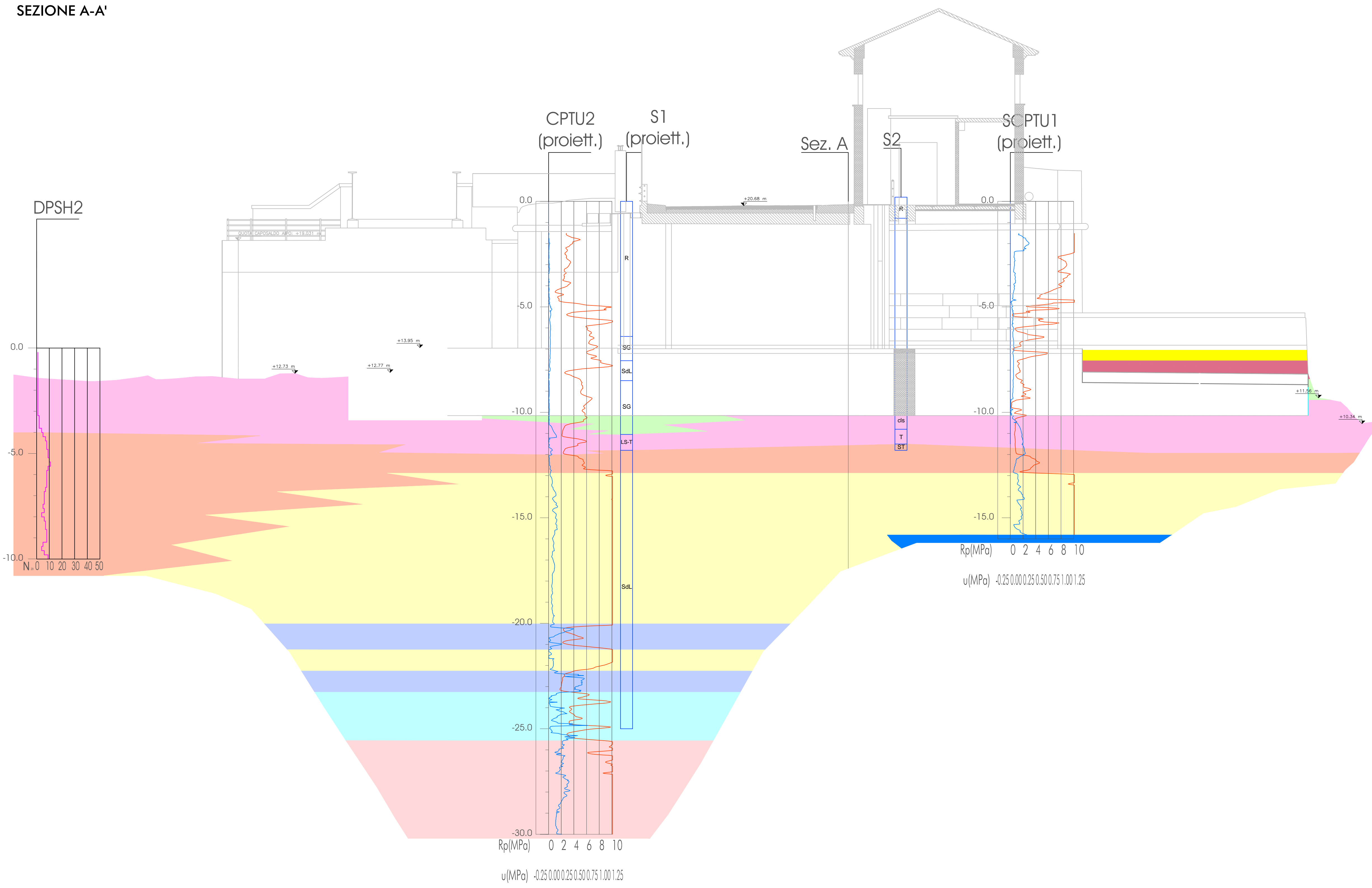


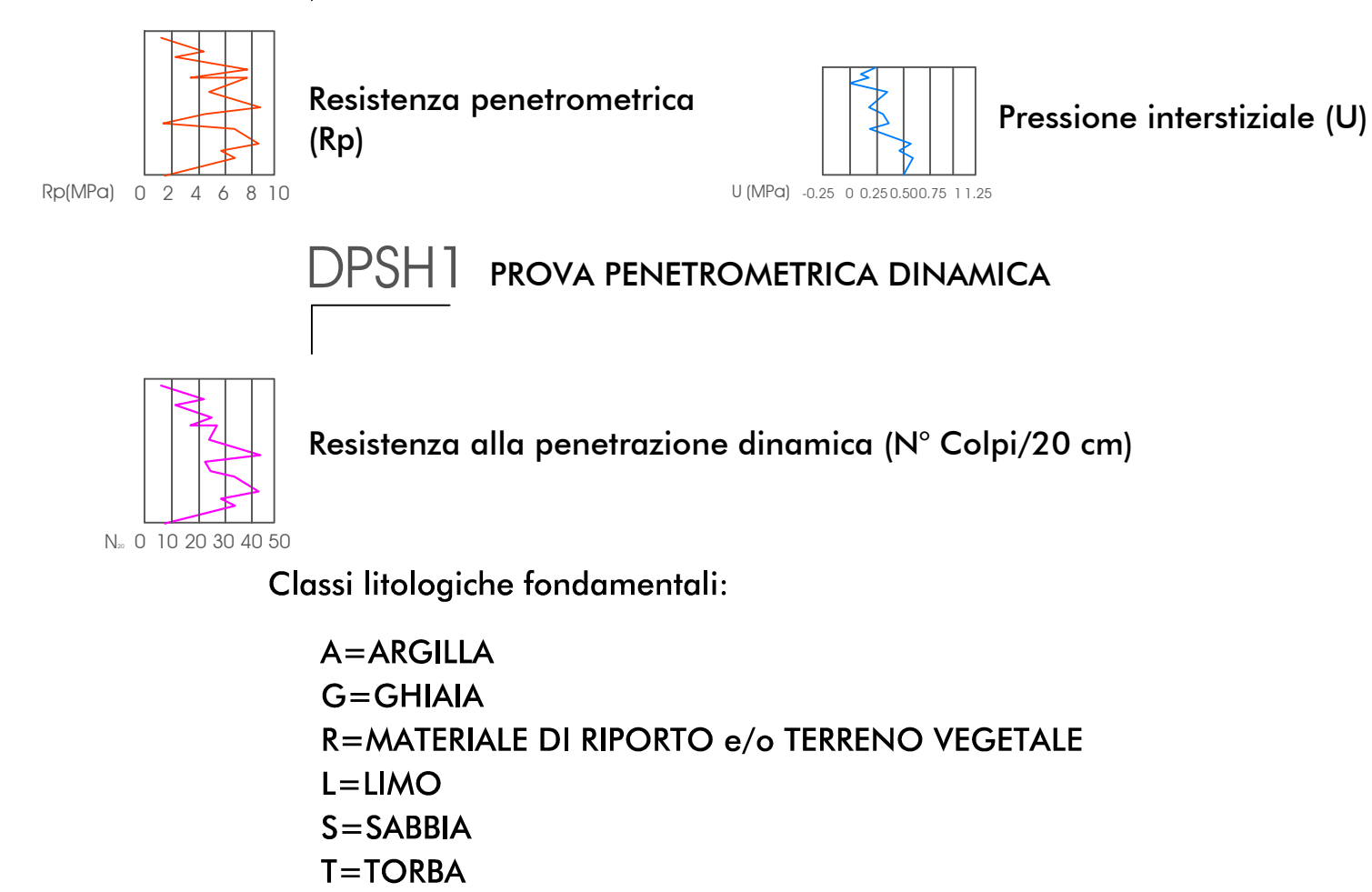
SEZIONE A-A'



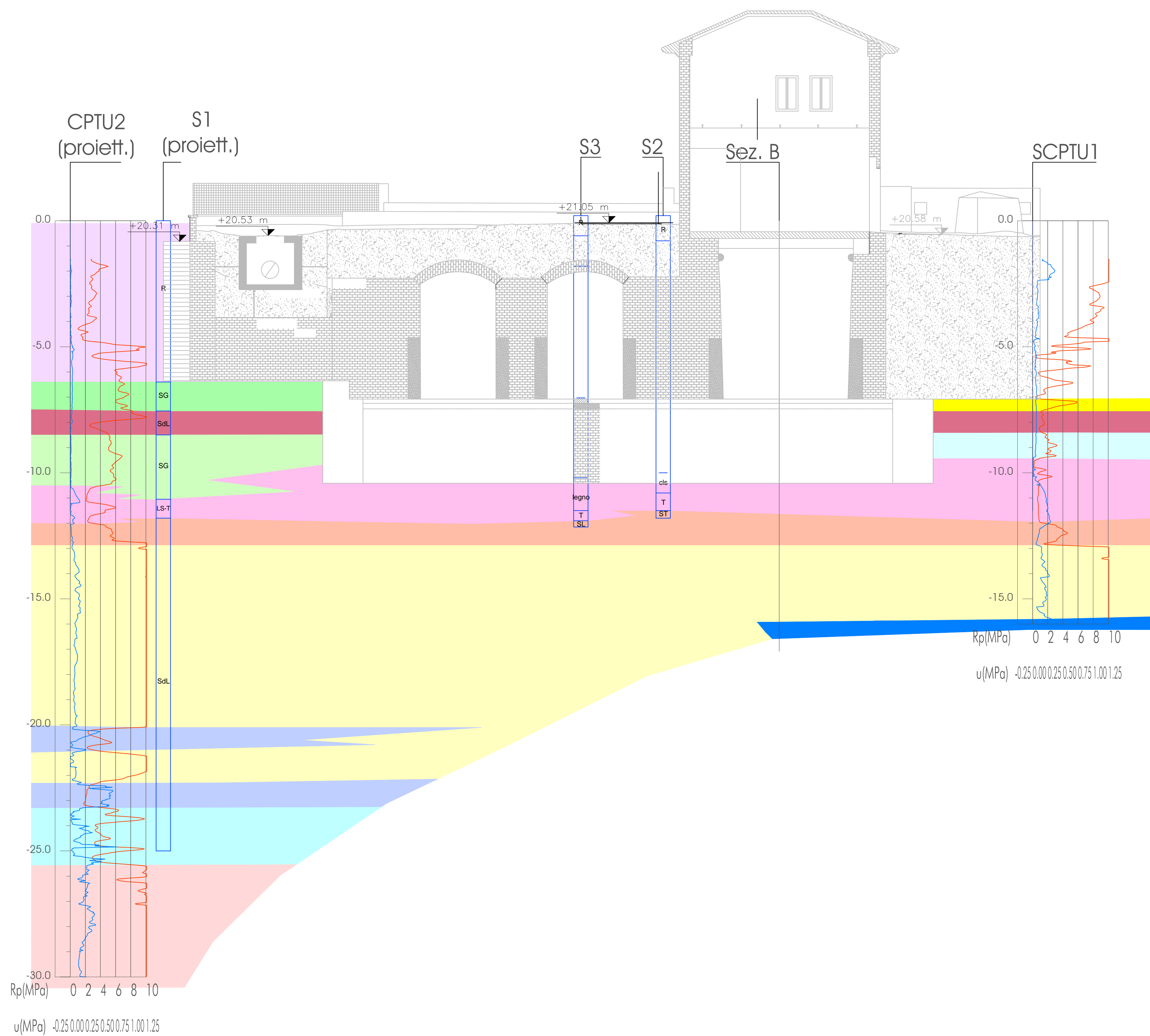
LEGENDA

- Terreni di riporto costituiti da alternanze limoso sabbiose e sabbiose con frammenti di laterizi e ciottoli
- ORIZZONTE 1**
Terreno a comportamento granulare
 $\gamma = 19.0 \text{ kN/m}^3$;
 $E_m = 17.1 \text{ MPa}$ $E_s = 16.8 \text{ MPa}$;
 $\phi'_m = 30.3^\circ$ $\phi'_k = 30.1^\circ$
- ORIZZONTE 2**
Terreno a comportamento granulare
 $\gamma = 19.2 \text{ kN/m}^3$;
 $E_m = 9.7 \text{ MPa}$ $E_s = 8.1 \text{ MPa}$;
 $\phi'_m = 25.5^\circ$ $\phi'_k = 24.6^\circ$
- ORIZZONTE 3**
Terreno a comportamento coesivo
 $\gamma = 18.5 \text{ kN/m}^3$;
 $c_m = 11.3 \text{ kPa}$ $c'_i = 11.4 \text{ kPa}$;
 $Cu_m = 68.5 \text{ kPa}$ $Cu_i = 64.9 \text{ kPa}$;
 $E_{ed,m} = 4.3 \text{ MPa}$ $E_{ed,i} = 4.1 \text{ MPa}$;
 $\phi'_m = 21.5^\circ$ $\phi'_k = 21.3^\circ$
- ORIZZONTE 4**
Terreno a comportamento granulare
 $\gamma = 19.5 \text{ kN/m}^3$;
 $E_m = 11.7 \text{ MPa}$ $E_s = 11.0 \text{ MPa}$;
 $\phi'_m = 27.1^\circ$ $\phi'_k = 26.7^\circ$
- ORIZZONTE 5**
Terreno a comportamento coesivo
 $\gamma = 18.0 \text{ kN/m}^3$;
 $c_m = 10.9 \text{ kPa}$ $c'_i = 10.9 \text{ kPa}$;
 $Cu_m = 44.6 \text{ kPa}$ $Cu_i = 41.0 \text{ kPa}$;
 $E_{ed,m} = 2.8 \text{ MPa}$ $E_{ed,i} = 2.7 \text{ MPa}$;
 $\phi'_m = 20.2^\circ$ $\phi'_k = 20.0^\circ$
- ORIZZONTE 6**
Terreno a comportamento granulare
 $\gamma = 20.0 \text{ kN/m}^3$;
 $E_m = 17.7 \text{ MPa}$ $E_s = 16.1 \text{ MPa}$;
 $\phi'_m = 27.6^\circ$ $\phi'_k = 27.1^\circ$
- ORIZZONTE 7**
Terreno a comportamento granulare
 $\gamma = 20.0 \text{ kN/m}^3$;
 $E_m = 38.8 \text{ MPa}$ $E_s = 38.0 \text{ MPa}$;
 $\phi'_m = 37.5^\circ$ $\phi'_k = 37.3^\circ$
- ORIZZONTE 8**
Terreno a comportamento granulare
 $\gamma = 18.8 \text{ kN/m}^3$;
 $E_m = 5.5 \text{ MPa}$ $E_s = 5.3 \text{ MPa}$;
 $\phi'_m = 23.7^\circ$ $\phi'_k = 23.6^\circ$
- ORIZZONTE 9**
Terreno a comportamento granulare
 $\gamma = 20.5 \text{ kN/m}^3$;
 $E_m = 13.8 \text{ MPa}$ $E_s = 12.8 \text{ MPa}$;
 $\phi'_m = 27.9^\circ$ $\phi'_k = 27.5^\circ$
- ORIZZONTE 10**
Terreno a comportamento granulare
 $\gamma = 20.8 \text{ kN/m}^3$;
 $E_m = 38.4 \text{ MPa}$ $E_s = 36.7 \text{ MPa}$;
 $\phi'_m = 35.6^\circ$ $\phi'_k = 35.2^\circ$
- Ghiaie


- S1 SONDAGGIO A CAROTTAGGIO CONTINUO
- SCPT2 PROVA PENETROMETRICA STATICA CON PUNTA ELETTRICA E SIMOCONO
- CPTU2 PROVA PENETROMETRICA STATICA CON PUNTA ELETTRICA




SEZIONE B-B'




Fiume Mincio
Opere Idrauliche di II categoria
MN-E-394-M
CUP: B64H15000070002
CIG:



Agenda Interregionale per il Fiume Po



Lotto A



Progetto Definitivo / Esecutivo

ELABORATO
Modello geotecnico

UBICAZIONE OPERE
Comune di Mantova
Località Ponte dei Mulini

DATA: Agosto 2018
AGG. -

SCALA:
1:100

COMMITTENTE
AIPo - Ufficio operativo di Mantova
Vicolo Canove, 26 - 46100 Mantova
tel. +39 0376320461
fax. +39 0376320464
e-mail: ufficio-mv@agenziaipo.it


Progettazione unica del procedimento
Ing. Ivano Galvani

Coordinatore unico del procedimento
Ing. Marcello Moratti

Assistente
Dott. Paolo Michelini

2.b.6

Polars - Studio Associato
HYDRODATA S.p.a.
ENGO S.r.l.
SAP S.r.l.



Progettazione unica del procedimento
Ing. Ivano Galvani

Coordinatore unico del procedimento
Ing. Marcello Moratti

Assistente
Dott. Paolo Michelini